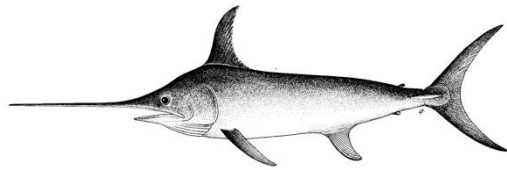


RESUME EXECUTIF : ESPADON



Indian Ocean Tuna Commission
Commission des Thons de l'Océan Indien

ÉTAT DE LA RESSOURCE D'ESPADON (SWO : *XIPHIAS GLADIUS*) DE L'OCEAN INDIENTableau 1. État de l'espadon (*Xiphias gladius*) de l'océan Indien.

Zone ¹	Indicateurs	Détermination de l'état du stock 2017
océan Indien	Captures 2016 ² : 39 777 ³ (39 667 ⁴) t Captures moyennes 2012–2016 : 35 142 ³ (31 463 ⁴) t PME (1 000 t) (IC 80%) : 31,59 (26,30–45,50) F _{PME} (IC 80%) : 0,17 (0,12–0,23) SB _{PME} (1 000 t) (IC 80%) : 43,69 (25,27–67,92) F ₂₀₁₅ /F _{PME} (IC 80%) : 0,76 (0,41–1,04) SB ₂₀₁₅ /SB _{PME} (IC 80%) : 1,50 (1,05–2,45) SB ₂₀₁₅ /SB ₁₉₅₀ (IC 80%) : 0,31 (0,26–0,43)	

¹Les limites de l'évaluation du stock de l'océan Indien sont définies par la zone de compétence de la CTOI.

²Proportion des captures estimées ou partiellement estimées par le Secrétariat de la CTOI en 2016 : **XX**%

³Captures des palangriers de thon frais indonésiens estimées en utilisant la composition des espèces des palangriers de thon frais taiwanais pour les mêmes années

⁴Captures des palangriers de thon frais indonésiens supposée similaires à celles de 2011-2013.

Légende du code couleur	Stock surexploité (SB _{année} /SB _{PME} < 1)	Stock non surexploité (SB _{année} /SB _{PME} ≥ 1)
Stock sujet à la surpêche (F _{année} /F _{PME} > 1)		
Stock non sujet à la surpêche (F _{année} /F _{PME} ≤ 1)		
Pas évalué/incertain		

STOCK DE L'OCEAN INDIEN – AVIS DE GESTION

État du stock. Une nouvelle évaluation du stock a été réalisée en 2017, utilisant un modèle de synthèse de stock avec des données halieutiques jusqu'en 2015. L'évaluation utilise un modèle spatialement désagrégé, sexuellement explicite et structuré par âge. Le modèle SS3, utilisé pour l'avis sur l'état du stock, indiquait que les points de référence basés sur la PME n'étaient pas dépassés pour la population de l'ensemble de l'océan Indien (F₂₀₁₅/F_{PME} < 1; SB₂₀₁₅/SB_{PME} > 1). La plupart des autres modèles suggéraient que le stock se situait au-dessus du niveau de biomasse qui produirait la PME. En 2015, la biomasse féconde du stock a été estimée à 26-43% du stock vierge. Il existe des incertitudes sur les estimations des captures des palangriers de thons frais indonésiens (Figure 1b). Une série alternative de captures historiques a été utilisée dans le cas de base du modèle (Figure 1b). Les captures les plus récentes dépassent le niveau de la PME (31 590 t). Ainsi, au vu des informations disponibles en 2017, le stock est déterminé comme **non surexploité** et **non sujet à la surpêche**.

Perspectives. La baisse des prises et de l'effort des palangriers de 2005 à 2011 a réduit la pression sur l'ensemble du stock de l'océan Indien et, en dépit de l'augmentation récente des captures totales enregistrées, la mortalité par pêche actuelle ne devrait pas conduire la population à la surexploitation dans les 10 ans à venir. Il existe une probabilité très faible de dépasser les points de référence basés sur la PME d'ici 2026 si les captures se maintiennent aux niveaux de 2015 (<1% de risques que SB₂₀₂₆ < SB_{PME} et <1% de risques que F₂₀₂₆ > F_{PME}) (Tableau 2).

Avis de gestion. Les captures les plus récentes (39 000 t en 2016) dépassent le niveau de la PME (31 590 t). Ainsi, les prises devraient être réduites en-deçà de la PME (31 590 t). Cependant, au vu de l'incertitude qui affecte les données les plus récentes des palangriers de thon frais indonésiens, un avis plus solide devrait être élaboré après la prochaine évaluation du stock, prévue en 2020.

Les principaux points suivants doivent être notés :

- **Production maximale équilibrée (PME) :** l'estimation pour l'ensemble de l'océan Indien est de 31 590 t.
- **Points de référence provisoires :** notant que la Commission a approuvé en 2015 la Recommandation 15/10 *Sur des niveaux de référence-cibles et -limites et sur un cadre de décision*, il convient de noter ce qui suit :

- a. **Mortalité par pêche** : la mortalité par pêche actuelle est considérée comme en-deçà du point de référence-cible provisoire de F_{PME} et inférieure au point de référence-limite provisoire de $1,4 * F_{PME}$ (Figure 1).
- b. **Biomasse** : la biomasse du stock reproducteur actuelle est considérée comme au-dessus du point de référence-cible de SB_{PME} et donc au-dessus du point de référence-limite de $0,4 * SB_{PME}$ (Figure 2).

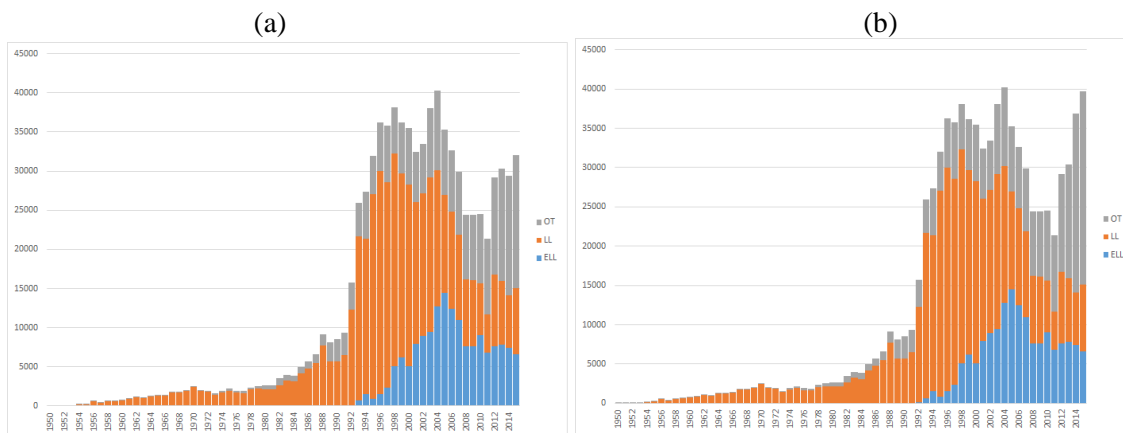


Figure 1. Espadon : Captures par engins et par années dans la base de données de la CTOI (1950-2015). (a) les prises des palangriers de thons frais indonésiens en 2014 et 2015 sont supposées similaires à la moyenne de celles de 2011-2013 ; (b) les prises des palangriers de thons frais indonésiens sont estimées en utilisant la composition des espèces de celles des palangriers de thons frais taiwanais pour les mêmes années. Les autres engins (OT) incluent : palangre/filet maillant, ligne à main, filet maillant, palangre côtière, traîne, pêche sportive et tous les autres engins.

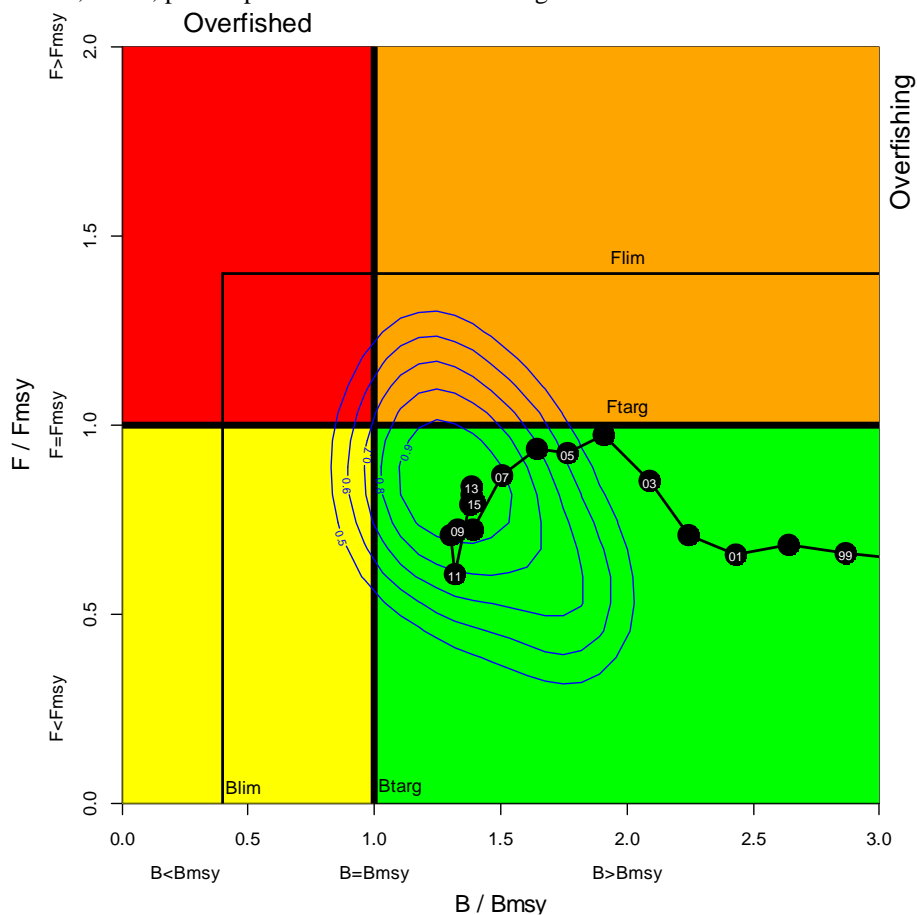


Figure 2. Espadon : Graphe de Kobe pour les évaluations SS3 sur l'ensemble de l'océan Indien (les contours correspondent aux 50^e, 60^e, 70^e, 80^e et 90^e centiles de l'estimation 2015). Les disques bleus représentent la trajectoire des estimations ponctuelles des ratios de SB et de F pour chaque année de 1950 à 2015. Les points de référence temporaires-cibles (F_{cible} et SB_{cible}) et -limites (F_{lim} et SB_{lim}), définis par la Commission, sont représentés.

Tableau 2. Espadon : Matrice de stratégie de Kobe II pour l'évaluation SS3 pour l'ensemble de l'océan Indien. Probabilité (pourcentage) de violer les points de référence basés sur la PME pour 9 projections à captures constantes (niveaux de captures : 32 129 t, $\pm 10\%$, $\pm 20\%$, $\pm 30\%$ et $\pm 40\%$) sur 3 et 10 ans.

Point de référence et durée de projection	Projections de capture alternatives (par rapport au niveau de captures de 32 129 t) et probabilité (%) de violer les points de référence-cibles ($SB_{cible} = SB_{PME}$; $F_{cible} = F_{PME}$)								
	60%	70%	80%	90%	100%	110%	120%	130%	140%
	(19 278 t)	(22 491 t)	(22 704 t)	(28 917 t)	(32 129 t)	(35 343 t)	(38 556 t)	(41 769 t)	(44 982 t)
$SB_{2018} < SB_{PME}$	0	ND	0	ND	0	ND	0	ND	0,13
$F_{2018} > F_{PME}$	0	ND	0	ND	0,13	ND	0,42	ND	0,71
$SB_{2025} < SB_{PME}$	0	ND	0	ND	0,08	ND	0,46	ND	0,75
$F_{2025} > F_{PME}$	0	ND	0	ND	0,38	ND	0,71	ND	0,87
Point de référence et durée de projection	Projections de capture alternatives (par rapport au niveau de captures de 32 129 t) et probabilité (%) de violer les points de référence-limites ($SB_{cible}=0,4SB_{PME}$; $F_{cible}=1,4F_{PME}$)								
	60%	70%	80%	90%	100%	110%	120%	130%	140%
	(19 278 t)	(22 491 t)	(22 704 t)	(28 917 t)	(32 129 t)	(35 343 t)	(38 556 t)	(41 769 t)	(44 982 t)
$SB_{2018} < SB_{lim}$	0	0	0	0	0	0	0	0	0
$F_{2018} > F_{lim}$	0	0	0	0	0	0	0	0	4
$SB_{2025} < SB_{lim}$	0	0	0	0	0	0	0	0	0
$F_{2025} > F_{lim}$	0	0	0	0	0	0	0	0	4